

広島大学工学部 正会員 川西 澄  
広島大学工学部 正会員 余越 正一郎

## 1. はじめに

条件付平均を用いて、河川感潮部におけるバースティングの空間構造を解析し、水深と平均流速変化にともなうバースティングの空間スケールの変化を求めた。なお、解析に用いた観測データは第29回水理講演会で発表したものと同じである。<sup>1)</sup> 観測地点、観測方法の詳細はこれを参照されたい。

## 2. 解析方法

太田川放水路において、河床から0.45mの高さより鉛直上方に0.4m間隔に4台の2成分電磁流速計を設置し、主流方向と鉛直方向の流速を同時連続測定した。電磁流速計の出力信号はすべて、シャ断周波数0.3Hzのローパスフィルターを通し、0.64秒間隔で同時にA/D変換した。Taylorの凍結乱流の仮説が成立するものとして、流速の時系列データの読み取り時間間隔は平均流速 $\bar{u}$ を乘じ、移流距離间隔に変換して解析した。<sup>1)</sup> ただし、 $\bar{u}$ としては4測点の平均流速の平均を用いた。瞬間レイノルズ応力による重みづけ平均法<sup>2)</sup>を用いて、バースティングの空間構造を求めた。流速の主流方向成分を $u$ 、鉛直方向成分を $w$ とすると、ejectionとsweep運動の検出関数はそれぞれ次式で定義される。

$$I_e(t) = \begin{cases} -u(t) \cdot w(t) & : u(t) < 0, w(t) > 0 \\ 0 & : \text{その他の場合} \end{cases} \quad I_s(t) = \begin{cases} -u(t) \cdot w(t) & : u(t) > 0, w(t) < 0 \\ 0 & : \text{その他の場合} \end{cases}$$

$u$ の条件付平均は

$$\langle u \rangle(z_1, t) = \frac{\int u(x_0, y_0, z_1, t + \tau) \cdot I(x_0, y_0, z_0, t) dx_0 dy_0 dz_0}{\int I(x_0, y_0, z_0, t) dx_0 dy_0 dz_0}$$

である。検出関数 $I(x_0, y_0, z_0, t)$ として、河床から0.45mの高さで測定したレイノルズ応力 $-uw$ を使用した。なお、上げ潮時の解析結果のみ以下に示す。

## 3. 結果

条件付平均 $\langle u \rangle$ ,  $\langle w \rangle$ の空間構造の変化を図2に示す。検出関数に河床から0.45mの高さの流速変動を用いているので、図2はこの測点でのejection, sweepが生じた時の $\langle u \rangle$ ,  $\langle w \rangle$ を規格化している。等価線の間隔は0.1である。図2の左側がejection, 右側がsweepの空間構造を示す。図の上から下に向かって、a. 加速初期, b. 加速期, c. 最大流速時, d. 減速時, e. 減速末期におけるものである。図の横軸は移流距離 $z$ 、縦軸は水面を

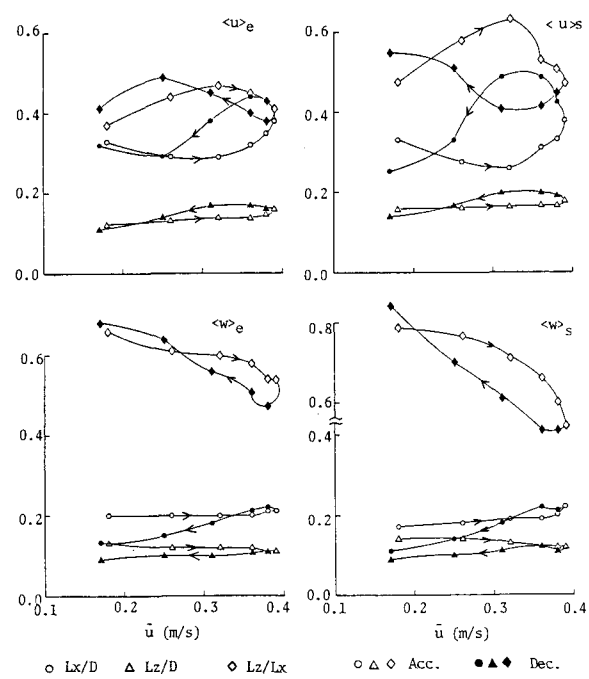


図1 バースティングの空間スケール

$1.0$ とした河床からの無次元高さである。

加速初期を除いて、下部より上部の方が位相が進んでいるのが確認できる。加速初期と減速末期の平均流速はほぼ等しいが、空間スケールは減速末期の方が大きい。ただし、 $\alpha$ から $e$ に向かって水深が大きくなっているので（ $2.7 \sim 5.3$  m）、水深に相対的なスケールは図1に示すように、ほとんど同じだが、逆に小さくなっている。加速時より減速時の方が乱れの強さも大きいので、拡散係数は減速時、加速時にくらべてかなり大きくなると思われる。空間スケールは図2の等値線の値が $0.6$ になる距離の2倍とした。図1はこのようにして求めた主流方向と鉛直方向の空間スケールを水深で無次元化したもの。 $L_x/\alpha$ 、 $L_z/\alpha$ と、鉛直方向と主流方向の空間スケールの比 $L_z/L_x$ を、平均流速に対してもプロットしたものである。曲線上の矢印の方向に時間は進行している。 $\langle u \rangle_e$ の空間スケール $L_x/\alpha$ 、 $L_z/\alpha$ は加速時より減速時の方が大きい。 $L_z/L_x$ は $\langle u \rangle_e$ 、 $\langle w \rangle_s$ とも減速初期に最も小さくなり、空間構造は扁平になる。

$\langle w \rangle_s$ の $L_x/\alpha$ 、 $L_z/\alpha$ には $\langle u \rangle_e$ ほど大きな変化はない。

#### 4. 結論

上げ潮時におけるバースティングの空間構造を解析し、次のことがわかった。

(1) 乱れ強さやレイノルズ応力と同様、バースティングの空間スケールは加速時より減速時の方が大きい。空間スケールが最大になるのは減速初期で、この時、鉛直方向と主流方向のスケール比は最小となり、空間構造は扁平となる。

(2) 一般の乱流境界層と同様、バースティングの空間構造は流下方向に傾斜した形をしている。

#### 参考文献

1) 川西、余越、太田川河口部の非定常乱流構造、第29回水理講演会論文集、1985

2) Nakagawa, H. and I. Nezu, Structure of space-time correlations of bursting phenomena in an open-channel flow, J. Fluid Mech., 104, 1981

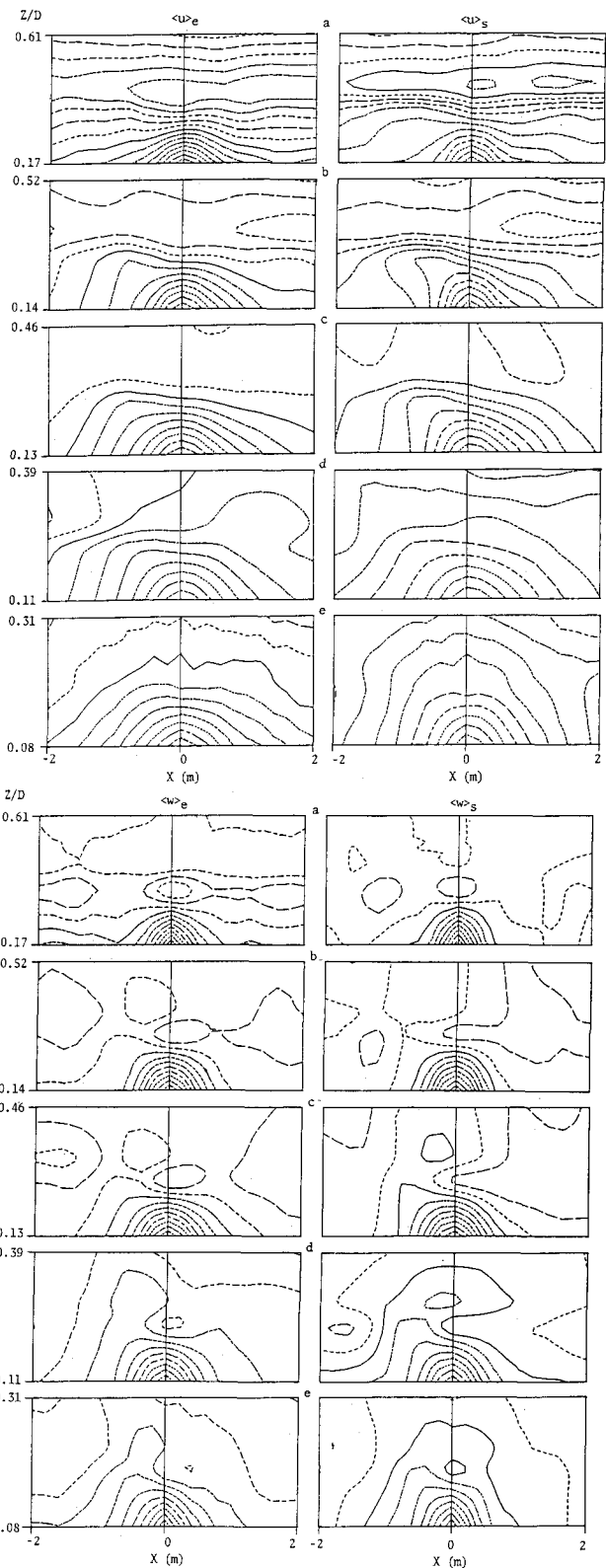


図2 バースティングの空間構造